原创精选 Selected article

活性氧和蛋白激酶 B 磷酸化在百草枯介导的小胶质细胞活化中的作用

肖洪喜^{a,b}, 李倩^{a,b}, 邵一鸣^{a,b}, 常秀丽^{a,b}, 周志俊^{a,b}

复旦大学 a. 公共卫生学院 b. 教育部公共卫生安全重点实验室, 上海 200032

摘要:

[背景] 百草枯 (PQ) 可诱导中枢神经系统的小胶质细胞活化,但其机制尚不清楚。

[目的] 通过体外实验,探究PQ介导的小胶质细胞活化的分子机制,聚焦于活性氧(ROS)和蛋白激酶B(Akt)磷酸化在该过程中的作用。

[方法] 使用不同浓度的 PQ(0、1、3.3、10、33、100 μ mol·L·¹) 对小鼠小胶质细胞系 BV-2 细胞进行染毒 12 h,采用细胞计数试剂盒(CCK-8)检测细胞活力。选择不引起细胞活性改变的最高染毒剂量(33 μ mol·L·¹)进行后续研究。用 33 μ mol·L·¹ PQ 染毒 12 h,采用流式细胞技术检测小胶质细胞经典活化(M1 活化)的标志一氧化氮合酶(iNOS)、选择性活化(M2 活化)的标志 CD206 的水平以及 ROS 和磷酸化 -Akt 的水平;采用 ELISA 方法检测 M1 活化分泌的促炎细胞因子 [白介素 6(IL-6)、肿瘤坏死因子 α (TNF- α) 和白介素 1 β (IL-1 β)] 以及 M2 活化分泌的抑炎细胞因子 [白介素 4(IL-4),胰岛素样生长因子 1(IGF-1)和转化生长因子 β (TGF- β) 的水平。采用 2 mmol·L·¹ 乙酰半胱氨酸(NAC)在 PQ 染毒前处理细胞 2 h 以干预 ROS,再更换含PQ的培养基染毒 12 h 后,用 RT-PCR 的方法检测 *iNOS、CD206* 及 *IL-1\beta* 的基因表达。使用 Akt 抑制剂(Akt inhibitor VIII,5 μ mol·L·¹)和激活剂(SC79,20 μ mol·L·¹)在 PQ 染毒前预处理细胞 2 h,再更换含 PQ 的培养基杂毒 12 h,检测干预后 iNOS、CD206 和 IL-1 β 的水平。

[结果] 在 $33 \mu \text{mol·L}^{-1} PQ$ 染毒 12 h 下,小胶质细胞 iNOS 水平升高(t=8.912,P<0.001),促炎细胞因子 IL-6、TNF- α 、IL-1 β 均升高(t=2.710、3.342、5.078,P值均<0.05);但 CD206 和抑炎因子水平改变差异均无统计学意义(P>0.05);小胶质细胞胞内 ROS 水平升高(t=11.907,P<0.001),而 Akt 磷酸化则被抑制(t=6.152,P<0.001)。NAC 预处理后,PQ 杂毒引起的 iNOS、IL-1 β 和 CD206 基因表达水平的增加均被逆转(t=15.457、6.912、9.106,均 P<0.001)。Akt 抑制剂的使用,使 iNOS 和 IL-1 β 水平相较于 PQ 杂毒组进一步升高(t=8.021、3.684,分别 P<0.001、P<0.01),CD206的水平则降低(t=2.662,t0.05)。与之相反,Akt 激活剂预处理抑制了 PQ 杂毒引起的 iNOS 和 IL-1 β 水平的升高(t=6.835、4.325,分别 t0.001、t0.001),而 CD206的水平升高(t=17.471,t0.001)。在 ROS 与 Akt 的关系上,使用 NAC 干预 ROS 时,PQ 引起的 Akt 磷酸化抑制得到恢复(t=6.438,t0.001);而无论使用 Akt 抑制剂还是激活剂,均不改变 ROS 的水平 (t0.005)。

[结论] PQ可通过升高 ROS,进而抑制 Akt 磷酸化引起小胶质细胞的促炎活化。干预 ROS 可同时抑制小胶质细胞的 M1 和 M2 活化;而 Akt 磷酸化的激活能调节 PQ 介导的小胶质细胞活化方向。

关键词:百草枯;小胶质细胞;活性氧;蛋白激酶B;磷酸化

Roles of reactive oxygen species and protein kinase B phosphorylation in paraquat-mediated microglia activation XIAO Hongxi^{a, b}, LI Qian^{a, b}, SHAO Yiming^{a, b}, CHANG Xiuli^{a, b}, ZHOU Zhijun^{a, b} (a.School of Public Health b.Key Laboratory of Public Health Safety of Ministry of Education, Fudan University, Shanghai 200032, China)

Abstract:

[Background] Paraquat (PQ) can induce microglia activation in central nervous system (CNS). However, its associated mechanism is not clear yet.

[Objective] This study investigates the potential molecular mechanism of PQ-mediated microglia activation and focuses on the roles of reactive oxygen species (ROS) and protein kinase B (PKB, also called Akt) phosphorylation in this process through *in vitro* experiments.

DOI 10.13213/j.cnki.jeom.2021.20451

基金项目

国家自然科学基金项目(81673202,81773472)

作者简介

肖洪喜 (1994—),男,硕士生; E-mail:17211020016@fudan.edu.cn

诵信作者

周志俊, E-mail: zjzhou@fudan.edu.cn

伦理审批 不需要 利益冲突 无申报 收稿日期 2020-09-24 录用日期 2020-11-24

文章编号 2095-9982(2021)01-0044-07 中图分类号 R114 文献标志码 A

▶引用

肖洪喜,李倩,邵一鸣,等.活性氧和蛋白激酶 B 磷酸化在百草枯介导的小胶质细胞活化中的作用 [J].环境与职业医学,2021,38 (1):44-50.

▶本文链接

www.jeom.org/article/cn/10.13213/j.cnki.jeom.2021.20451

Funding

This study was funded.

Correspondence to

ZHOU Zhijun, E-mail: zjzhou@fudan.edu.cn

Ethics approval Not required
Competing interests None declared
Received 2020-09-24
Accepted 2020-11-24

►To cite

XIAO Hongxi, LI Qian, SHAO Yiming, et al. Roles of reactive oxygen species and protein kinase B phosphorylation in paraquatmediated microglia activation[J]. Journal of Environmental and Occupational Medicine, 2021, 38(1): 44-50.

► Link to this article

www.jeom.org/article/en/10.13213/j.cnki.jeom.2021.20451

[Methods] Mouse microglia cell line BV-2 cells were treated with different concentrations of PQ (0, 1, 3.3, 10, 33, and $100 \,\mu\text{mol} \cdot L^{-1}$) for 12 h and assessed for its viability with cell counting kit 8 (CCK8). The highest dose that did not damage the cell viability (33 μ mol·L⁻¹) was selected for further experiments. Then BV-2 cells were treated with 33 μ mol·L⁻¹ PQ for 12 h to detect the levels of nitric oxide synthase (iNOS), a marker of microglia classical activation (M1 activation), CD206, a marker of microglia alternative activation (M2 activation), ROS, and phosphorylated Akt (p-Akt) by flow cytometry, as well as the levels of proinflammatory cytokines triggered via M1 activation [interleukin 6 (IL-6), tumor necrosis factor α (TNF- α), and interleukin 1 β (IL-1 β)] and anti-inflammatory cytokines triggered via M2 activation [interleukin 4 (IL-4), insulin-like growth factor 1 (IGF-1), and transforming growth factor β (TGF- β)] by ELISA. A batch of cells were pretreated with 2 mmol·L⁻¹ N-acetylcysteine (NAC) to inhibit ROS for 2 h, and then treated with PQ for 12 h to detect the expression levels of *iNOS*, *CD206*, and *IL-1\beta* by RT-PCR. Another batch of cells were pretreated with Akt inhibitor (Akt inhibitor VIII), 5 μ mol·L⁻¹) and activator (SC79, 20 μ mol·L⁻¹) respectively for 2 h, and then treated with PQ for another 12 h, to detect the expression levels of iNOS, CD206, and IL-1 β .

[Results] After the cells were exposed to 33 μ mol·L·¹ PQ for 12 h, the levels of iNOS (t=8.912, P<0.001) and proinflammatory cytokines IL-6, TNF- α , and IL-1 β were increased (t=2.710, 3.342, and 5.078, P<0.05), while no significant difference was observed in the levels of CD206 and anti-inflammatory cytokines (P>0.05); in addition, intercellular ROS level was increased (t=11.907, P<0.001), and Akt phosphorylation was inhibited (t=6.152, P<0.001). After the NAC treatment, the increased levels of *iNOS*, t=1t0, and t0, and t1, and t2, t2, t3, and t4, t4, and t5, t6, t9, t9,

[Conclusion] PQ can induce pro-inflammatory activation of microglia by increasing ROS and inhibiting Akt phosphorylation. ROS intervention can inhibit both M1 and M2 phenotypes of microglia. And Akt activation can regulate PQ-mediated microglia activation.

Keywords: paraquat; microglia; reactive oxygen species; protein kinase B; phosphorylation

百草枯 (paraquat, PQ) 是一种于 1958 年开发出来的季铵盐类除草剂,其化学结构与神经毒物 1- 甲基 -4- 苯基 -1,2,3,6- 四氢 吡 啶(1-methyl-4-phenyl-1,2,3,6-tetrahydropyridine,MPTP)的活性代谢产物 N- 甲基 -4- 苯基吡啶阳离子盐(1-methyl-4-phenylpyridinium lon,MPP⁺)相似,是一种公认的具有神经毒性的化合物。流行病学与动物实验均显示,PQ的长期低剂量暴露与帕金森病的发生和发展有关 $^{[1-2]}$ 。

因子 β (transforming growth factor β , TGF- β) 等] 和神经营养因子 (β) 。持续的 M1 活化介导的神经炎症反应所分泌的促炎因子对神经元产生损伤作用;而 M2 活化产生的炎症调节因子和神经营养因子则可以抑制神经炎症,并发挥组织修复作用 (β) 。活性氧 (reactive oxygen species,ROS) 被认为与多种神经退行性疾病的发生有关,如阿尔兹海默病、帕金森病等 (β) 。在缺氧、营养缺乏、化学因素损伤等情况下,细胞 ROS 的生成和清除平衡被打破,造成 ROS 累积过多,进而对细胞产生损伤作用 (β) 0。蛋白激酶 B (protein kinase B, PKB) 也被称为 Akt,是一种丝氨酸 - 苏氨酸激酶,在细胞内广泛存在,参与多种生物过程,如细胞生存、生长、信号转导和凋亡等 (β) 3。

研究发现,PQ体内染毒能够引起小鼠大脑小胶质细胞活化,并产生以多种炎症因子浸润为特征的神经炎症反应^[14]。而已有研究多以脂多糖(lipopolysaccharide,LPS)作为刺激小胶质细胞活化的化学物来探究小胶质细胞的活化机制^[15-16],且多个研究发现,ROS和Akt均参与了小胶质细胞的活化过程^[17-18]。但目前对于PQ引起的小胶质细胞活化机制研究较少,ROS和Akt在PQ引起的小胶质细胞活化中的作用和关系尚需要进一步阐述。因此,本研究拟通过体外染毒和干预实验,检测PQ介导的小胶质细

胞活化状态及细胞因子的改变,探究 ROS 和 Akt 磷酸化在 PQ 介导的小胶质细胞活化过程中的作用。

1 材料与方法

1.1 主要试剂与仪器

主要试剂:PQ、L-谷氨酰胺、青霉素-链霉素 (Sigma 公司,美国),胎牛血清 (fatal bovine serum, FBS;Gibco公司,美国),RPMI 1640培养基 (Cytiva公 司,美国),细胞因子(IL-6、TNF-α、IL-1β、IL-4、TGF-β、 IGF-1) ELISA 试剂盒(达科为生物技术有限公司,中 国), 2', 7'-二氯荧光黄双乙酸盐(2, 7-dichlorodihydrofluorescein diacetate, DCFH-DA) ROS 荧光探针、 细胞计数试剂盒8 (cell counting kit-8, CCK-8) (碧云 天生物科技有限公司,中国),PCR引物(生工生物 有限公司,中国),流式穿膜试剂(BD公司,美国)。 流式细胞抗体包括:异硫氰酸荧光素(fluorescein Isothiocyanate, FITC) - 抗 -iNOS 抗体,别藻蓝蛋白 (allophycocyanin, APC) - 抗 - 甘露糖受体(mannose receptor,又称CD206)抗体,兔抗鼠-p-Akt抗体及 FITC标记的二抗,均购自美国Thermo Fisher公司。常 见的 ROS 干预试剂 N-乙酰半胱氨酸 (N-acetylcysteine, NAC)、Akt 干预试剂 Akt 抑制剂 (Akt inhibitor VIII) 和 Akt 激活剂 (SC79) 均购自碧云天生物科技有限公司。 主要仪器: 荧光酶标仪 (Biotech 公司, 美国), BD LSR Fortessa 流式细胞仪 (BD 公司,美国)。

1.2 细胞培养与处理

小鼠小胶质细胞系 BV-2 细胞购自中国盖宁生 物公司。细胞采用 RPMI 1640 培养基 (含 10% FBS, 2 mmol·L¹ L- 谷氨酰胺和 100 U·L¹ 的青霉素 - 链霉素), 在5%CO2、37°C恒温细胞培养箱中培养。PQ用无菌磷 酸盐缓冲液 (phosphate buffered solution, PBS) 溶解, 制备 20 mg·mL¹的储备液,于-80℃保存,在细胞处理 时用培养基进行稀释。为进行细胞活力的检测,设置 0、1、3.3、10、33、100 μmol·L⁻¹ 浓度梯度,在96 孔板 中进行PQ染毒12h。选择不引起细胞活力改变的最 高浓度进行后续实验。后续实验均在48孔板中进行 细胞处理。以培养基组作为阴性对照,设置PQ染毒 组,2 mmol·L⁻¹ NAC干预组和 5 μmol·L⁻¹ Akt 抑制剂干预 组及20 μmol·L¹ Akt 激活剂干预组,干预组均采用干预 试剂处理细胞2h后,更换含33μmol·L⁻¹PQ培养基染 毒12h的方式进行处理。NAC处理后,检测小胶质细 胞 ROS、p-Akt 相对水平的改变及不同表型的标志(M1 活化表型为 iNOS,M2 活化表型为 CD206) 和 IL-1β 的基因表达水平;Akt 抑制剂/激活剂处理后,检测细胞 ROS、p-Akt、iNOS、CD206 和 IL-1β 相对水平的改变。

1.3 CCK-8 法检测细胞活性

将 BV-2 细胞悬液接种于 96 孔板中,每孔 $100\,\mu$ L,接种密度约为 5×10^4 孔 1 ,培养 $12\,h$ 使细胞良好贴壁后,按照上述方法进行细胞处理。在细胞染毒后,每孔加入 $10\,\mu$ L CCK-8 试剂,孵育 $1\,h$ 。培养结束后,采用酶标仪在 $450\,n$ m 波长下进行检测,采用实验组与对照组光密度的比值计算细胞相对活性。

1.4 ELISA法检测细胞因子水平

将细胞悬液接种于 48 孔板中,每孔 500 μ L,接种细胞密度约为 2.5×10 5 孔 $^{-1}$,培养 12 h 使细胞稳定贴壁后,按照上述方法进行处理,收集上清,在 500 \times g 转速下离心 5 min 以去除上清中可能存在的细胞,按照不同试剂盒的说明进行 ELISA,检测细胞分泌的细胞因子 (IL-6、TNF- α 、IL-1 β 、IL-4、TGF- β 、IGF-1)。

1.5 DCFH-DA 法检测胞内 ROS

细胞处理结束后,用胰蛋白酶消化细胞,消化结束后用小牛血清(fetal calf serum,FCS)缓冲液(体积分数为 FCS:PBS=1:19)重悬,并转移到流式细胞板中(200 μ L·孔⁻¹),向各孔加入荧光探针 DCFH-DA 至终浓度为 $10\,\mu$ mol·L⁻¹,于 $37\,^{\circ}$ C培养箱中孵育 $20\,\mu$ min,采用 LSR Fortessa 流式细胞仪检测荧光强度,采用 FlowJo V10.0.7 进行数据分析。

1.6 流式细胞技术

48 孔板培养并进行相应处理后,用胰蛋白酶消化,FCS缓冲液重悬,并转移到流式细胞板中(200 μL·孔⁻¹)。使用 Fc 封闭抗体在冰上封闭 30 min,再进行膜蛋白 CD206 染色,加入相应抗体,在避光条件下反应30 min。对于胞内蛋白,采用穿膜试剂处理20~30 min后,加入相应抗体。处理好的样品采用 LSR Fortessa流式细胞仪检测,并使用 FlowJo V10.0.7 进行数据分析。所使用的抗体包括 FITC-抗-iNOS 抗体(1:400),APC-抗-CD206 抗体(1:400),兔 抗 鼠 -p-AKT 抗体(1:400)及 FITC 标记的二抗(1:400)。

1.7 逆转录 PCR (reverse transcription-PCR, RT-PCR) 检测 *iNOS*、*CD206*、*IL-1β* 的 mRNA 表达

NAC处理后的细胞经胰蛋白酶消化后,用1mL Trizol 试剂进行细胞裂解和 RNA 的提取,根据反转录试剂盒说明进行 cDNA 的合成。合成好的 cDNA 按照以下流程进行 PCR 反应程序:95°C 30s, 95°C 5s,

 60° C 34s,共设置 40个循环;在循环完成后,95°C 15s, 60° C 1 min,95°C 15s 获得溶解曲线。以磷酸甘油醛脱氢酶(reduced glyceraldehyde-phosphate dehydrogenase,*GAPDH*)为内参,采用比较 Ct 值法进行计算。RT-PCR 所使用的引物序列如表 1 所示。

表1 RT-PCR 引物序列 Table 1 RT-PCR primer sequences

基因名称 (Gene)	引物序列 (Primer sequences) (5′→3′)
iNOS	正向引物 (Forward): CTGCCCCCTGCTCACTC
	反向引物 (Backward):TGGGAGGGGTCGTAATGTCC
CD206	正向引物(Forward):AAGGAAGGTTGGCATTTGT
	反向引物(Backward):CCTTTCAATCCTATGCAAGC
<i>IL-1β</i>	正向引物 (Forward): CTGGTGTGTGACGTTCCCATTA
	反向引物 (Backward): CCGACAGCACGAGGCTTT
GAPDH	正向引物 (Forward): TTCAACGGCACAGTCAAGGC
	反向引物(Backward):GACTCCACGACATACTCAGCACC

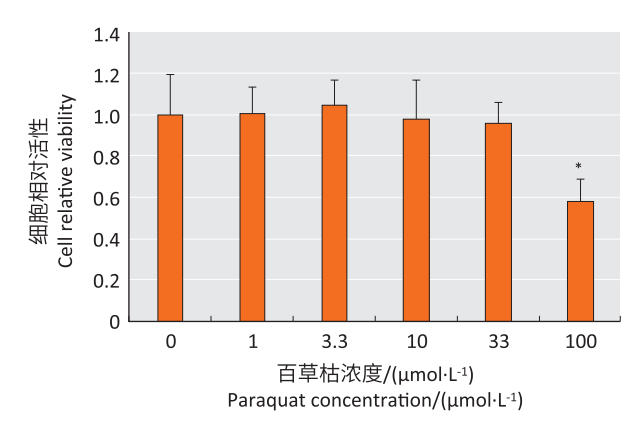
1.8 统计学分析

采用 SPSS 25.0 软件进行统计学分析,数据以均数 \pm 标准差表示。多组间比较采用单因素方差分析,LSD 法进行事后两两比较。检验水准为 α =0.05 (双侧检验)。

2 结果

2.1 PO 对细胞活性的影响

以培养基组作为阴性对照组,设置 1、3.3、10、33、100 μ mol·L⁻¹浓度梯度进行 PQ 染毒 12 h 后,CCK-8 结果显示,在 100 μ mol·L⁻¹浓度处理 12 h 时,细胞活力下降。见图 1。参考相关研究的浓度设置 [19],选择不引起小胶质细胞活性改变的最高浓度(33 μ mol·L⁻¹)进行后续实验。



[注]*:与阴性对照(0µmol·L-1)组比,P<0.05。

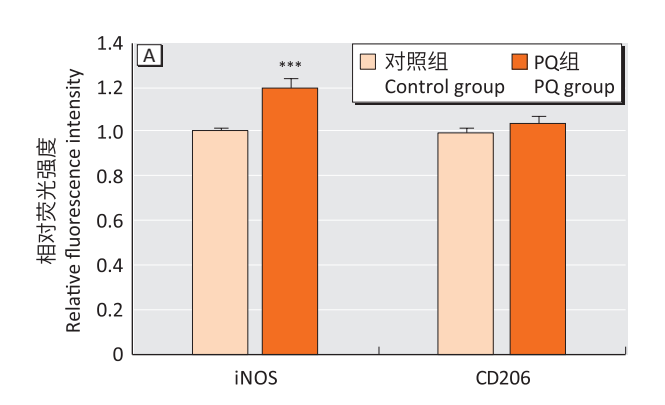
[Note] * : Compared with the negative control ($0 \mu \text{mol} \cdot L^{-1}$) group, P < 0.05.

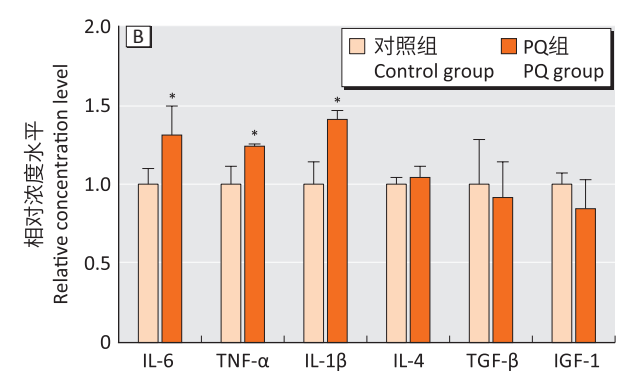
图1 PQ对小胶质细胞相对活性的影响(n=5)

Figure 1 Effects of PQ on cell viability of microglia (n=5)

2.2 PQ对小胶质细胞活化及细胞因子分泌的影响

与对照组相比,iNOS水平升高(t=8.912,P<0.001),而 CD206 未见改变 (P>0.05)(图 2A)。与表型改变结果一致,M1 活化表型分泌的促炎细胞因子IL-6、TNF- α 、IL-1 β 均升高(t 值分别为 2.710、3.342、5.078,均 P<0.05),而 M2 表型分泌的细胞因子IL-4、TGF- β 、IGF-1 则未见改变(图 2B)。





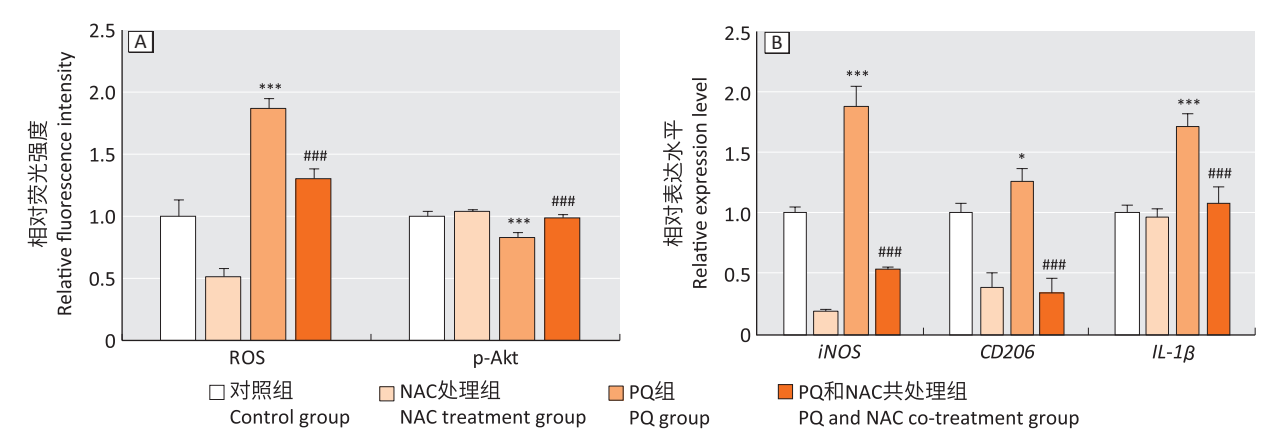
[注] *:与对照组相比,P<0.05;***:与对照组相比,P<0.001。
[Note] *: Compared with the control group, P<0.05; ***: Compared with the control group, P<0.001.

图 2 PQ 对小胶质细胞活化表型 (A, n=6) 和细胞因子分泌 $(B, n \ge 3)$ 的影响

Figure 2 Effects of PQ on microglia phenotypes (A, n=6) and cytokine secretion (B, $n \ge 3$)

2.3 ROS在PQ介导的小胶质细胞活化中的作用

相比于对照组,PQ染毒组胞内ROS升高 (t=11.907,P<0.001),而Akt磷酸化则受到抑制 (t=6.152,P<0.001)。在使用NAC干预胞内ROS后,相比于PQ染毒组,p-Akt得到恢复 (t=6.438,P<0.001) (图3A)。在基因表达上,相比于对照组,PQ染毒组的iNOS、CD206和IL-1 β 基因表达均增加(t=9.648、3.098、10.802,分别P<0.001,P<0.05,P<0.001)。在使用NAC预处理后,三者的基因表达水平均受到抑制(与PQ染毒组相比,t=15.457、9.106、6.912,均P<0.001) (图3B)。



[注]*:与对照组相比,P<0.05;***:与对照组相比,P<0.001;###:与PQ组相比,P<0.001。

[Note] *: Compared with the control group, P<0.05; ***: Compared with the control group, P<0.001; ###: Compared with the PQ group, P<0.001.

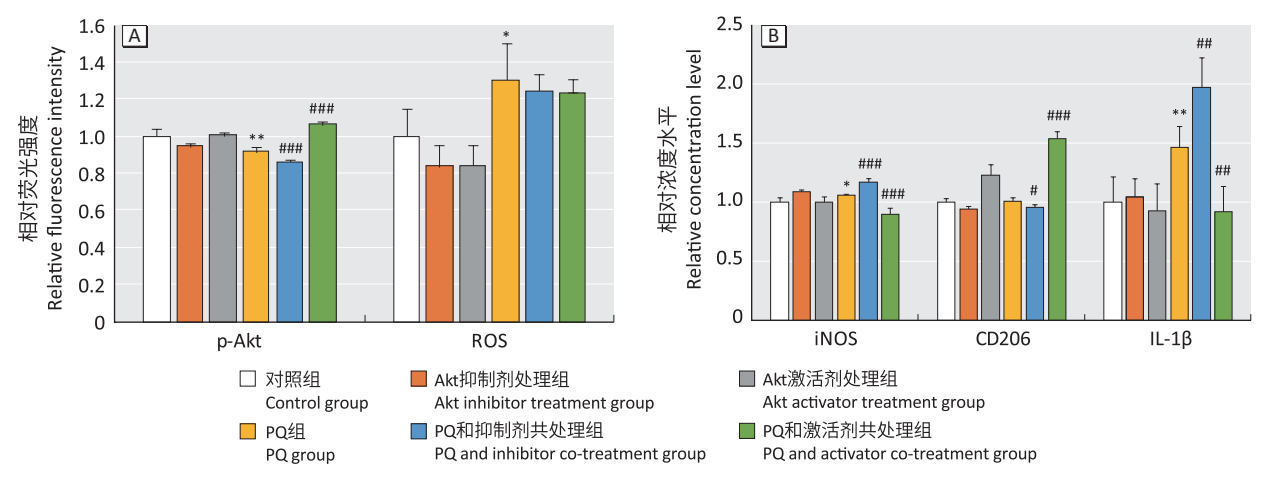
图3 ROS 干预对 PQ 引起的 Akt 磷酸化 (A, n=6) 和细胞表型相关基因表达 (B, n=5) 改变的影响

Figure 3 Effects of ROS intervention on changes of Akt phosphorylation (A, n=6) and microglia activation associated-gene expression (B, n=5) induced by PQ

2.4 Akt磷酸化在PQ介导的小胶质细胞活化中的作用

与 PQ 染毒组相比,p-Akt 的改变与抑制剂和激活剂的干预预期一致;对于 ROS,无论是 Akt 抑制剂干预组还是激活剂干预组,ROS 均未见改变(t=0.597、0.722,均 P>0.05)(图 4A)。对于细胞活化表型和细胞因子分泌,与 PQ 染毒组相比,iNOS 水平和 IL-18 的

分泌在使用 Akt 抑制剂干预后进一步升高 (t=8.021、3.684,分别 P<0.001,P<0.01),而 CD206 水 平 降低 (t=2.662,P<0.05)。使用 Akt 激活剂干预后,iNOS 降低 (t=6.438,P<0.001),IL-1 β 减少 (t=4.325,P<0.01),PQ介导的 M1活化被抑制;同时,CD206 升高 (t=17.471,P<0.001),M2 表型被激活(图 4B)。



[注] *:与对照组相比,P<0.05;**:与对照组相比,P<0.01;#:与 PQ组相比,P<0.05;##:与 PQ组相比,P<0.01;###:与 PQ组相比,P<0.00;Note] *: Compared with the control group, P<0.05; **: Compared with the PQ group, P<0.05; ##: Compared with the PQ group, P<0.01; ###: Compared with the PQ group, P<0.001.

图 4 Akt 干预对 PQ 引起的 p-Akt 和 ROS (A) 及细胞活化表型和因子分泌 (iNOS、CD206 和 IL-1β) (B) 改变的影响 (n=6) Figure 4 Effects of Akt intervention on changes of p-Akt and ROS (A), and microglia phenotypes and cytokines (iNOS,CD206 and IL-1β) (B) induced by PQ (n=6)

3 讨论

PQ是一种具有神经毒性的除草剂,可引起小胶质细胞的促炎活化^[20],但其机制尚不明确。本研究观察到PQ介导了小胶质细胞的M1活化和多种促炎因子的分泌;同时,胞内ROS升高,但Akt的磷酸化受到抑制。在使用ROS抑制剂处理后,小胶质细胞的两

种活化表型均被抑制,使小胶质细胞倾向于恢复静息状态。Akt 的干预实验揭示了Akt 磷酸化能够调节 PQ介导的小胶质细胞活化方向。

小胶质细胞的促炎活化能分泌大量的细胞因子, 产生中枢神经系统的免疫应答,对神经元产生损伤作 用^[21]。许多研究发现,PQ在较低浓度下即可激活小 胶质细胞,使其向 M1 活化表型转变 $^{[22-23]}$ 。本研究观察到 PQ 能够引起 BV-2 细胞 M1 活化标志 iNOS 的升高及促炎细胞因子分泌的增加,表明 PQ 能够介导小胶质细胞向 M1 活化表型转变,与上述研究结果一致。IL-6、TNF- α 和 IL-1 β 是典型的小胶质细胞 M1 活化表型大量分泌的细胞因子,在神经炎症相关疾病中发挥作用 $^{[24]}$ 。本研究观察到促炎细胞因子的明显升高。IL-1 β 的大量释放是神经免疫的共同特征。本课题组的动物实验研究发现,对小鼠腹腔注射 PQ,可引起小鼠脑中小胶质细胞的 M1 活化和 IL-1 β 水平升高,影响神经干细胞增殖,并进而影响小鼠记忆功能 $^{[25]}$ 。因此,在后续的实验中,IL-1 β 可作为典型促炎因子代表性反映细胞因子的改变。

PQ进入细胞后能引起烟酰胺腺嘌呤二核苷酸磷酸 (nicotinamide adenine dinucleotide phosphate, NADPH) 氧化酶的活化,并诱导 ROS 的产生 [26],ROS 的过量生成在小胶质细胞促炎反应中发挥重要作用。研究发现,线粒体 ROS 能够调节多种胞内信号通路,如丝裂原激活的蛋白激酶 (mitogen-activated protein kinase,MAPK) 通路和核因子 κB (nuclear factor kappa-B,NF-κB) 信号通路等,进而促进小胶质细胞的炎性活化 [27-28]。本研究观察到 PQ 可引起小胶质细胞的炎性活化 [27-28]。本研究观察到 PQ 可引起小胶质细胞的发性活化 ROS 的增加,并最终引起小胶质细胞的 M1 活化。在使用 NAC 干预 ROS 后,PQ 引起的小胶质细胞的 M1 表型被抑制,有趣的是,小胶质细胞 M2 活化标志 CD206 的基因表达也受到抑制,说明抑制 ROS 可同时抑制小胶质细胞的 M1和 M2活化,提示 ROS 的升高可能是 PQ 介导的小胶质细胞活化的初始事件。

研究发现,Akt 在不同化学物引起的小胶质细胞活化中的作用不同。β淀粉样蛋白可抑制 Akt 磷酸化,进而引起小胶质细胞的促炎活化^[29];而 LPS则能增强Akt 的磷酸化,促进小胶质细胞的促炎活化^[30]。本研究发现,PQ能够抑制 Akt 的磷酸化,引起小胶质细胞M1活化标志的升高,且使用 Akt 抑制剂干预后,M1活化进一步增强;而使用 Akt 激活剂干预后,小胶质细胞 M1活化表型被抑制,同时,M2活化表型升高。这些结果提示,Akt 磷酸化能够有效改善 PQ引起的促炎活化,并使活化表型向抑炎和修复表型转变。因此,Akt 磷酸化在小胶质细胞活化过程中可能发挥着调节作用,是一个潜在的治疗靶点。目前关于 Akt 在 PQ产生的小胶质细胞活化中的作用未见报道,本研究初步发现并报道了 Akt 磷酸化在 PQ 与常用模型 LPS 之间存

在差异。

由于ROS与Akt磷酸化在PQ介导的小胶质细胞活化中的关系相关研究缺乏,因此二者的关系在本研究中也被探讨。在LPS的相关研究中,LPS刺激引起的ROS升高能够激活磷酸肌醇-3激酶(phosphatidylinositol-3kinase,PI3K)-Akt通路,进而促进小胶质细胞的M1活化^[17]。而在本研究中,PQ引起的ROS升高抑制了Akt磷酸化,且这种抑制能够被NAC逆转。此外,Akt亦能够通过激活抗氧化应激的重要因子,如核因子E2相关因子2(nuclear factor erythroid-2 related factor 2,Nrf2),增强细胞抗氧化能力^[31]。但在本研究中,Akt的干预不影响PQ诱导的ROS的生成。其原因可能是,PQ在染毒期间持续存在,因此能够持续刺激ROS的生成,产生无法逆转的ROS升高。

综上,PQ能够引起小胶质细胞的促炎活化和细胞因子升高,ROS和Akt磷酸化在这个过程中发挥重要作用。ROS的升高抑制了Akt的磷酸化,削弱了Akt对小胶质细胞表型的调节作用。本研究仅从体外实验探究了ROS和Akt磷酸化的作用,而PQ在机体内引起神经炎症反应的机制很复杂,需要进一步研究。

参考文献

- [1] BERRY C, LA VECCHIA C, NICOTERA P. Paraquat and Parkinson's disease [J] . Cell Death Differ, 2010, 17 (7): 1115-1125.
- [2] FRIGERIO R, SANFT KR, GROSSARDT BR, et al. Chemical exposures and Parkinson's disease: a population-based case—control study [J]. Mov Disord, 2006, 21 (10): 1688-1692.
- [3] GBD 2016 Parkinson's Disease Collaborators. Global, regional, and national burden of Parkinson's disease, 1990-2016: a systematic analysis for the Global Burden of Disease Study 2016 [J]. Lancet Neurol, 2018, 17 (11): 939-953.
- [4] GAN L, JOHNSON JA. Oxidative damage and the Nrf2-ARE pathway in neurodegenerative diseases [J]. Biochim Biophys Acta, 2014, 1842 (8): 1208-1218.
- [5] LI Q, BARRES BA. Microglia and macrophages in brain homeostasis and disease [J]. Nat Rev Immunol, 2018, 18(4): 225-242.
- [6] YANG QQ, ZHOU J W. Neuroinflammation in the central nervous system: symphony of glial cells [J]. Glia, 2019, 67 (6): 1017-1035.
- [7] MOEHLE MS, WEST AB. M1 and M2 immune activation in Parkinson's Disease: foe and ally? [J]. Neuroscience, 2015, 302: 59-73.

- [8] TANG Y, LE W. Differential roles of M1 and M2 microglia in neurodegenerative diseases [J] . Mol Neurobiol, 2016, 53
 (2): 1181-1194.
- [9] HENEKA MT, KUMMER MP, LATZ E. Innate immune activation in neurodegenerative disease [J] . Nat Rev Immunol, 2014, 14 (7): 463-477.
- [10] ANGELOVA PR, ABRAMOV AY. Role of mitochondrial ROS in the brain: from physiology to neurodegeneration [J]. FEBS Letters, 2018, 592 (5): 692-702.
- [11] DRÖGE W. Free radicals in the physiological control of cell function [J] . Physiol Rev, 2002, 82 (1): 47-95.
- [12] BÓRQUEZ DA, URRUTIA PJ, WILSON C, et al. Dissecting the role of redox signaling in neuronal development [J].

 J Neurochem, 2016, 137 (4): 506-517.
- [13] RAI S N, DILNASHIN H, BIRLA H, et al. The role of PI3K/Akt and ERK in neurodegenerative disorders [J] . Neurotox Res, 2019, 35 (3): 775-795.
- [14] CHE Y, HOU L, SUN F, et al. Taurine protects dopaminergic neurons in a mouse Parkinson's disease model through inhibition of microglial M1 polarization [J]. Cell Death Dis, 2018, 9 (4): 435.
- [15] JUNGJS, CHOIMJ, LEEYY, et al. Suppression of lipopolysaccharide-induced neuroinflammation by Morin via MAPK, PI3K/Akt, and PKA/HO-1 signaling pathway modulation [J]. J Agric Food Chem, 2017, 65 (2): 373-382.
- [16] BURGUILLOS MA, DEIERBORG T, KAVANAGH E, et al.

 Caspase signalling controls microglia activation and neurotoxicity [J]. Nature, 2011, 472 (7343): 319-324.
- [17] JIANG K, GUO S, YANG C, et al. Barbaloin protects against lipopolysaccharide (LPS) -induced acute lung injury by inhibiting the ROS-mediated PI3K/AKT/NF-kB pathway [J] . Int Immunopharmacol, 2018, 64: 140-150.
- [18] HUANG B, LIU J, MENG T, et al. Polydatin Prevents Lipopolysaccharide (LPS) -Induced Parkinson's Disease via Regulation of the AKT/GSK3β-Nrf2/NF-κB Signaling Axis [J] . Front Immunol, 2018, 9: 2527.
- [19] SUN Y, ZHENG J, XU Y, et al. Paraquat-induced inflammatory response of microglia through HSP60/TLR4 signaling [J] . Human Exp Toxicol, 2018, 37 (11): 1161-1168.
- [20] PURISAI MG, MCCORMACK AL, CUMINE S, et al. Microglial activation as a priming event leading to paraquat-induced dopaminergic cell degeneration [J]. Neurobiol Dis, 2007, 25 (2): 392-400.

- [21] BUTOVSKY O, WEINER H L. Microglial signatures and their role in health and disease [J] . Nat Rev Neurosci, 2018, 19 (10): 622-635.
- [22] HUANG M, LI Y, WU K, et al. Paraquat modulates microglia M1/M2 polarization via activation of TLR4-mediated NF-κB signaling pathway [J] . Chem-Biol Interact, 2019, 310: 108743.
- [23] MITRA S, CHAKRABARTI N, BHATTACHARYYA A. Differential regional expression patterns of α -synuclein, TNF- α , and IL-1 β ; and variable status of dopaminergic neurotoxicity in mouse brain after Paraquat treatment [J] . J Neuroinflammation, 2011, 8 (1) : 163.
- [24] VAY SU, FLITSCH LJ, RABENSTEIN M, et al. The plasticity of primary microglia and their multifaceted effects on endogenous neural stem cells *in vitro* and *in vivo* [J]. J Neuroinflammation, 2018, 15 (1): 226.
- [25] LI Q, XIAO H, SHAO Y, et al. Paraquat increases Interleukin- 1β in hippocampal dentate gyrus to impair hippocampal neurogenesis in adult mice [J] . Ecotoxicol Environ Saf, 2020, 200: 110733.
- [26] HOU L, HUANG R, SUN F, et al. NADPH oxidase regulates paraquat and maneb-induced dopaminergic neurodegeneration through ferroptosis [J] . Toxicology, 2019, 417: 64-73.
- [27] PARK J, MIN J S, KIM B, et al. Mitochondrial ROS govern the LPS-induced pro-inflammatory response in microglia cells by regulating MAPK and NF-κB pathways [J]. Neurosci Lett, 2015, 584: 191-196.
- [28] PENG J, STEVENSON FF, OO ML, et al. Iron-enhanced paraquat-mediated dopaminergic cell death due to increased oxidative stress as a consequence of microglial activation [J]. Free Rad Biol Med, 2009, 46 (2): 312-320.
- [29] SHI X, CAI X, DI W, et al. MFG-E8 selectively inhibited Aβ-induced microglial M1 polarization via NF-κB and PI3K-Akt pathways [J]. Mol Neurobiol, 2017, 54 (10): 7777-7788.
- [30] CIANCIULLI A, CALVELLO R, PORRO C, et al. PI3k/Akt signalling pathway plays a crucial role in the anti-inflammatory effects of curcumin in LPS-activated microglia [J]. Int Immunopharmacol, 2016, 36: 282-290.
- [31] HUANG B, HE D, CHEN G, et al. α -Cyperone inhibits LPS-induced inflammation in BV-2 cells through activation of Akt/Nrf2/HO-1 and suppression of the NF- κ B pathway [J] . Food Funct, 2018, 9 (5) : 2735-2743.

(英文编辑:汪源;责任编辑:丁瑾瑜)